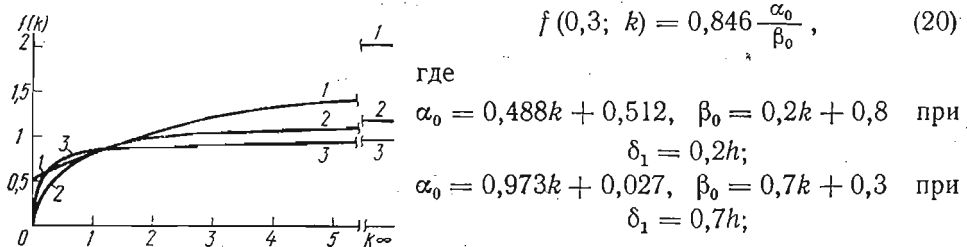


где $f(v, k) = \frac{3-2v-v^2}{3(1-v^2)} \frac{\alpha}{\beta}$; $\alpha = (1-k)(h-\delta_1)^3 + kh^3$; $\beta = (k-1)\delta_1 + h$; $k = \frac{E_1}{E}$; δ_1 — толщина внешнего (внутреннего) слоя; E и E_1 — соответственно модули упругости среднего и внешнего (внутреннего) слоев пластинки.

Числовые расчеты произведены для различных значений параметра k при $v = 0,3$; $\delta_1 = 0,2; 0,7; 0,9h$. При этом



$$\alpha_0 = 0,999k + 0,001, \quad \beta_0 = 0,9k + 0,1 \quad \text{при} \quad \delta_1 = 0,9h.$$

На рисунке кривыми 1, 2, 3 изображены графики изменения функции $f(k)$ для значений толщины $\delta_1 = 0,2; 0,7; 0,9h$ соответственно. Как видно из графиков, с увеличением модуля упругости E_1 контакт берегов трещины при $k > 1$ наступает раньше в пластинке с более толстыми наружными слоями для всех значений параметра k , а при $k < 1$ — в пластинке с толстыми и тонкими наружными слоями в зависимости от конкретного значения k .

ЛИТЕРАТУРА

1. Каландия А. И. Математические методы двумерной упругости. М., «Наука», 1973. 303 с.
2. Осадчук В. А., Подстригач Я. С. К определению напряженного состояния в замкнутой цилиндрической оболочке и бесконечной пластине с трещинами.— МТТ, 1973, № 3, с. 69—78.
3. Подстригач Я. С., Осадчук В. А., Федюк Е. М., Николишин М. М. Метод дисторсий в теории тонких оболочек с трещинами.— Мат. методы и физ.-мех. поля, 1975, вып. 1, с. 29—41.
4. Труш Е. И. Многослойные сферические оболочки под действием нагрузки, равномерно распределенной по площадке.— Прикл. механика, 1970, 6, № 7, с. 64—72.

Львовский филиал математической физики Института математики АН УССР

Поступила в редколлегию 16.IX 1975 г.

УДК 539.377

Р. Н. Швець, В. М. Флячок

РЕАКЦИЯ ОРТОТРОПНЫХ ЦИЛИНДРИЧЕСКИХ ОБОЛОЧЕК НА ТЕМПЕРАТУРНЫЕ ВОЗДЕЙСТВИЯ

Исследуем динамическое поведение замкнутой круговой цилиндрической оболочки при действии мгновенно приложенных и вращающихся температурных нагрузок. Термоупругое движение оболочки будем описывать взаимосвязанными линейными уравнениями теории термоупругости тонких ортотропных оболочек, учитывающих инерцию вращения и поперечные сдвиги.

Исходные уравнения и соотношения. Уравнения нестационарной теплопроводности тонкой цилиндрической оболочки постоянной толщины $2h$ и радиуса R , учитывающие термоупругое рассеяние энергии, при кубиче-

ском распределении температуры по толщине оболочки имеют вид

$$\Delta T + \frac{5}{6\delta} T^* - b \frac{\partial T}{\partial \tau} - b\gamma \frac{\partial}{\partial \tau} \left[\frac{\partial u_1}{\partial \alpha_1} + \gamma^* \left(\frac{\partial u_2}{\partial \alpha_2} + \omega \right) \right] + \frac{R^2}{\lambda_3} Q = -f_1, \quad (1)$$

$$\Delta T^* - \frac{5}{6\delta^2} T^* - b \frac{\partial T^*}{\partial \tau} - b\gamma\delta \frac{\partial}{\partial \tau} \left(\frac{\partial \gamma_1}{\partial \alpha_1} + \gamma^* \frac{\partial \gamma_2}{\partial \alpha_2} \right) + \frac{R^2}{\lambda_3} Q^* = -f_2.$$

Функции f_1 и f_2 зависят от способа подвода тепла к поверхностям $z = \pm h$ и в случае притока тепла имеют вид

$$f_1 = \frac{\eta R}{2} \left[\left(\frac{1}{6} + \frac{1}{\sqrt{3}\delta} \right) \frac{\partial t}{\partial z} (h) + \left(\frac{1}{6} - \frac{1}{\sqrt{3}\delta} \right) \frac{\partial t}{\partial z} (-h) \right], \quad (2)$$

$$f_2 = \frac{\eta R}{2} \left[\left(\frac{1}{\sqrt{3}} + \frac{5}{6\delta} \right) \frac{\partial t}{\partial z} (h) - \left(\frac{5}{6\delta} - \frac{1}{\sqrt{3}} \right) \frac{\partial t}{\partial z} (-h) \right].$$

При условии, что теплоотдача с поверхностей $z = \pm h$ происходит в соответствии с законом Ньютона, получаем

$$f_1 \delta^2 \mu = (\sqrt{3}\delta \mu_2 + \mu_3) (T - t_1) + (\delta \mu_4 + 6\sqrt{3}\mu_2) \left(\frac{5}{6} T^* - t_2 \right), \quad (3)$$

$$f_2 \delta^2 \mu = (15\mu_2 + \sqrt{3}\delta \mu_3) (T - t_1) + (5\sqrt{3}\mu_4 + 18\delta \mu_2) \left(\frac{5}{6} T^* - t_2 \right).$$

Здесь

$$T = \frac{\eta}{2h} \int_{-h}^h t dz; \quad T^* = \frac{\sqrt{3}\eta}{2h^2} \int_{-h}^h t z dz; \quad b = \frac{Rc_0}{a}; \quad \delta = \frac{h}{\sqrt{3}R};$$

$$Q = \frac{\eta}{2h} \int_{-h}^h q dz; \quad Q^* = \frac{\sqrt{3}\eta}{2h^2} \int_{-h}^h q z dz; \quad c_0^2 = \frac{E_1}{\rho(1 - \nu_{12}\nu_{21})}; \quad \tau = \frac{c_0 \tau_1}{R};$$

$$t_1 = \frac{\eta}{2} (t_c^+ + t_c^-); \quad t_2 = \frac{\eta}{2\sqrt{3}} (t_c^+ - t_c^-); \quad \Delta = \frac{\lambda_1}{\lambda_3} \frac{\partial^2}{\partial \alpha_1^2} + \frac{\lambda_2}{\lambda_3} \frac{\partial^2}{\partial \alpha_2^2};$$

$$\eta = \frac{1}{2} [\alpha_{11}(1 + \nu_{12}) + \alpha_{12}(1 + \nu_{21})]; \quad \gamma = \gamma_{11}\eta; \quad \gamma^* = \frac{\gamma_{22}}{\gamma_{11}};$$

$$\mu_1 = \frac{1}{2} h (h_t^+ + h_t^-); \quad \mu_2 = \frac{1}{2} h (h_t^+ - h_t^-); \quad \mu_3 = \mu_1^2 + 6\mu_1 - \mu_2^2;$$

$$\mu_4 = \mu_1^2 + 3\mu_1 - \mu_2^2; \quad \mu = (\mu_1 + 6)(\mu_1 + 3) - \mu_2^2;$$

u_1, u_2, ω — безразмерные компоненты перемещений срединной поверхности оболочки, отнесенные к радиусу R ; α_1, α_2 — безразмерные ортогональные координаты; γ_1, γ_2 — углы поворота нормали; z — координата, отсчитываемая по нормали; τ_1 — время; t — приращение температуры; ν_{ij}, α_{ii} — коэффициенты Пуассона и линейного расширения; E_1 — модуль Юнга; λ_i, a — коэффициенты теплопроводности и температуропроводности; h_t^\pm — относительные коэффициенты теплоотдачи на поверхностях $z = \pm h$; t_c^\pm — значение температуры среды, омывающей эти поверхности; ρ — плотность материала; q — удельная мощность источников тепла; γ_{ii} — коэффициенты термоупругого взаимодействия [3].

Поскольку в уравнениях теплопроводности учитывается диссипация механической энергии, систему (1) следует решать совместно с уравнениями движения оболочки [4]

$$L_{i1}u_1 + L_{i2}u_2 + L_{i3}\omega + L_{i4}\gamma_1 + L_{i5}\gamma_2 + L_{i6}T + L_{i7}T^* = 0, \quad (4)$$

где $i = 1, 2, \dots, 5$; L_{ij} — линейные дифференциальные операторы, приведенные в работе [4].

Действие теплового потока на оболочку конечной длины. Рассмотрим замкнутую круговую цилиндрическую оболочку длины l , края $\alpha_1 = 0$ и

$\alpha_1 = \frac{l}{R} = l_1$ которой шарнирно закреплены и поддерживаются при нулевой температуре. К внешней поверхности оболочки внезапно приложен тепловой поток плотности $g(\alpha_1, \alpha_2)$, причем внутренняя поверхность теплоизолирована. Источники тепла отсутствуют. В начальный момент оболочка находится в покое.

Для решения системы (1), (2), (4) с учетом принятых граничных условий и условия периодичности по координате α_2 используем конечное синус-преобразование Фурье по переменной α_1 для функций u_2, γ_2, w, T, T^* и по переменной α_2 для u_2, γ_2 , а также косинус-преобразование Фурье по переменной α_1 для функций u_1, γ_1 и по α_2 для u_1, γ_1, w, T, T^* . По времени τ применим интегральное преобразование Лапласа при однородных начальных условиях. В результате получим систему алгебраических уравнений для определения изображений искомых функций. В частности, для прогиба в изображениях находим

$$\omega_{nm}(p) = \frac{\eta h G_{nm}}{\lambda_3} \frac{D_1(p)}{pD(p)}. \quad (5)$$

Здесь

$$G_{nm} = \frac{2}{\pi l_1} \left(1 - \frac{\delta_{0m}}{2}\right) \int_0^{2\pi} \int_0^{l_1} g(\alpha_1, \alpha_2) \sin \lambda_n \alpha_1 \cos m \alpha_2;$$

$\lambda_n = \frac{\pi n}{l_1}$; δ_{0m} — символ Кронекера; p — параметр преобразования Лапласа; $D(p), D_1(p)$ — соответствующие определители полученной системы алгебраических уравнений.

Характеристическое уравнение этой системы $D(p) = 0$ дает пять пар комплексно-сопряженных корней $p_j = -s_j \pm i\Omega_j$ ($s_j > 0$; $i = \sqrt{-1}$; $j = 1, 2, \dots, 5$) и два отрицательных действительных корня $p_j = -\sigma_j$ ($j = 1, 2$). Эти корни определяют пять типов затухающих механических колебаний и две формы релаксации температуры.

Применяя к выражению (5) теорему операционного исчисления о разложении функций, окончательное выражение для прогиба записываем в виде

$$w = \frac{\eta h}{\lambda_3} \sum_{n=1}^{\infty} \sum_{m=0}^{\infty} G_{nm} \sin \lambda_n \alpha_1 \cos m \alpha_2 \left\{ \frac{D_1(0)}{D(0)} + \sum_{j=1}^2 \frac{D_1(-\sigma_j) e^{-\sigma_j \tau}}{(-\sigma_j) D'(-\sigma_j)} + \right. \\ \left. + 2\operatorname{Re} \sum_{j=1}^5 \frac{D_1(-s_j + i\Omega_j)}{(-s_j + i\Omega_j) D'(-s_j + i\Omega_j)} e^{-s_j \tau} (\cos \Omega_j \tau + i \sin \Omega_j \tau) \right\}. \quad (6)$$

Отметим, что члены, содержащие экспоненциальные функции, соответствуют неустановившимся колебаниям, которые стремятся к нулю при больших значениях времени.

На основании полученных аналитических решений произведены вычисления и построены соответствующие графики. На рис. 1 показано изменение безразмерного динамического прогиба $w^* = \frac{\lambda_3 w}{20\eta g h}$ во времени $\tau^* = \frac{\alpha \tau_1}{R^2}$ при различных значениях параметра $B = \left(\frac{\sqrt{3}\delta c_0 h}{a}\right)^{\frac{1}{2}}$ для случая теплового потока плотности g , равномерно распределенного по поверхности оболочки $z = h$. Вычисления производились при следующих значениях параметров: $k' = \frac{5}{6}$, $\gamma = 0$, $l_1 = 2$, $h = 16R$ для ортотропного материала (сплошные линии) с постоянными $E_1 = 2E_2$, $\nu_{12} = 0,3$, $\nu_{21} = 0,15$, $\alpha_{11} = 2\alpha_{12}$, $E_1 = 40G_{13}$ и трансверсально-изотропного материала (штриховые линии) с постоянными $E_1 = 40G_{13}$, $\nu = 0,3$. Кривые при $B = \infty$ соответствуют решению задачи в квазистатической постановке. Динамические эф-

фекты возрастают с уменьшением параметра B (например, за счет уменьшения толщины), и для тонких оболочек, для которых характерное время нагрева соизмеримо с нижшим периодом колебаний, коэффициент динамичности может равняться двум.

Из числового анализа следует, что анизотропия материала существенно влияет на величины прогибов и напряжений в цилиндрической оболочке, и особенно это влияние сказывается вследствие различия коэффициентов линейного теплового расширения.

В рассматриваемом интервале времени перемещения, вычисленные по

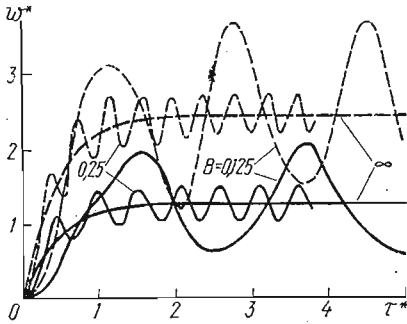


Рис. 1

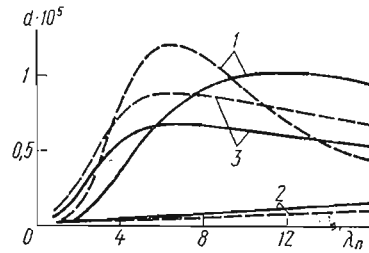


Рис. 2

связанной теории ($\gamma = 0,1$), незначительно (около 1%) отличаются от вычисленных по полусвязанной ($\gamma = 0$) теории, но, как уже отмечалось, при больших значениях времени динамическая часть решения задачи по связанной теории затухает вследствие учета диссипации механической энергии.

Величину рассеянной энергии за единицу времени [1, 2] при деформации цилиндрической оболочки в нашем случае можно подсчитать по формуле

$$\left| \frac{dW}{d\tau} \right| = \frac{2h}{T_0 \eta^2} \int_0^{2\pi} \int_0^{l_1} \left\{ \lambda_1 \left[\left(\frac{\partial T}{\partial \alpha_1} \right)^2 + \left(\frac{\partial T^*}{\partial \alpha_1} \right)^2 \right] + \lambda_2 \left[\left(\frac{\partial T}{\partial \alpha_2} \right)^2 + \left(\frac{\partial T^*}{\partial \alpha_2} \right)^2 \right] + \frac{5\lambda_3}{6\delta^2} [(T^*)^2 - \delta T T^*] \right\} d\alpha_1 d\alpha_2.$$

На рис. 2 приведены кривые изменения декремента затухания d в зависимости от параметра λ_n для первых трех типов осесимметричных колебаний при $h = 20R$, $b = 32 \cdot 10^5$, $\gamma = 0,1$, $\lambda_1 = \lambda_2 = \lambda_3$. Сплошные линии соответствуют ортотропной оболочке с параметрами $E_2 = 2E_1$, $\nu_{12} = 0,15$, $\nu_{21} = 0,3$, $E_1 = 40G_{13}$, $\alpha_{12} = 2\alpha_{11}$, штриховые — трансверсально-изотропной при $\nu = 0,3$, $E = 40G'$.

Поведение логарифмического декремента для первого (кривая 1) и третьего (кривая 3) типов одинаково: при определенных значениях λ_n он достигает максимума, величина которого также существенно зависит от материала рассматриваемых оболочек. Значит, можно подобрать такие геометрические и физические параметры, при которых колебания оболочки будут сопровождаться наибольшим рассеянием механической энергии. Колебания второго (кривая 2) типа незначительно чувствительны к анизотропным свойствам материала и затухают медленно.

Действие вращающихся тепловых источников на длинную оболочку. Рассмотрим бесконечно длинную круговую цилиндрическую оболочку, изготовленную из ортотропного упругого материала, находящуюся под действием вращающихся с постоянной угловой скоростью ω_1 тепловых источников; равномерно распределенных вдоль двух диаметрально противоположных образующих. Между поверхностями $z = \pm h$ оболочки и внешней средой с нулевой температурой происходит теплообмен по закону Ньютона. Коэффициенты теплоотдачи с обеих поверхностей принимаем равными между собой. В начальный момент оболочка находится в покое. В этом

случае получаем

$$q(\alpha_2, z, \tau) = q^* \delta(z-h) \sum_{m=-\infty}^{\infty} \delta(\alpha_2 - \omega\tau - m\pi), \quad (7)$$

где $\omega = \frac{R\omega_1}{c_0}$; $\delta(\dots)$ — дельта-функция Дирака.

Заменяя бесконечную сумму в выражении (7) эквивалентным тригонометрическим рядом и применяя затем к уравнениям (1), (3), (4) интегральные преобразования Фурье и Лапласа, находим искомые величины. В частности, функцию прогиба записываем в виде

$$\begin{aligned} w = \frac{q^* \eta h}{\lambda_3} \sum_{m=0,2,\dots} \cos m\alpha_2 & \left\{ \sum_{j=1}^2 \frac{D_1(-\sigma_j)}{D'(-\sigma_j)} e^{-\sigma_j \tau} + 2 \operatorname{Re} \sum_{j=1}^3 \frac{D_1(-s_j + i\Omega_j)}{D'(-s_j + i\Omega_j)} e^{-s_j \tau} \times \right. \\ & \left. \times (\cos \Omega_j \tau + i \sin \Omega_j \tau) + 2 \operatorname{Re} \frac{D_1(i m \omega)}{D'(i m \omega)} (\cos m \omega \tau + i \sin m \omega \tau) \right\}. \quad (8) \end{aligned}$$

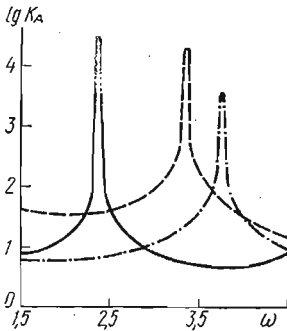


Рис. 3

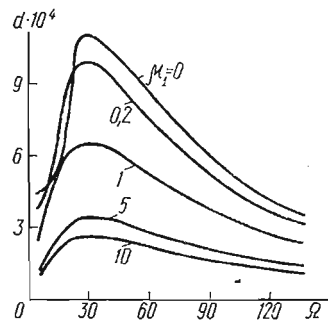


Рис. 4

Полагая $\omega = 0$, получаем решение для случая мгновенно приложенных тепловых источников, равномерно распределенных вдоль двух диаметрально противоположных образующих.

В случае вращающихся тепловых источников при угловой скорости, равной половине частоты первого (изгибного) типа собственных колебаний, амплитуда их резко возрастает. Учет в этом случае в уравнениях движения оболочки термоупругого рассеяния, что имеет существенное значение при колебаниях, позволяет найти конечное значение амплитуды, величина которой зависит от физических и геометрических параметров.

На рис. 3 приведены кривые изменения логарифма максимального коэффициента динамичности $\lg K_d$ ($K_d = \frac{\omega^{\max}}{\omega_{st}}$) в зависимости от безразмерной угловой скорости ω для ортотропной (сплошные линии), трансверсально изотропной (штриховые) и изотропной (штрихпунктирные) оболочек.

Поведение декремента затухания d первого типа изгибных колебаний длинной ортотропной цилиндрической оболочки в зависимости от безразмерной частоты собственных колебаний Ω и различных значений μ_1 критерия Био показано на рис. 4. Отметим, что возрастание частоты осуществлялось увеличением толщины оболочки.

Из приведенных рисунков и анализа полученных результатов следует, что в случае вращающихся тепловых источников коэффициент динамичности может оказаться намного больше двух, а динамические эффекты существенны для различных материалов при всех толщинах, для которых применима теория оболочек. Рассеяние механической энергии для тонких оболочек невелико, но с увеличением толщины оно возрастает до максимума, а затем снова падает. Такая зависимость диссипации энергии от толщины оболочки приводит к большим значениям резонансных амплитуд для очень тонких и относительно толстых оболочек, а при промежуточных толщинах

они имеют минимум. Для рассматриваемых значений физических параметров резонансные прогибы изотропной оболочки [5] меньше, чем для трансверсально-изотропной и ортотропной соответственно.

Поскольку рассеяние энергии для тонких оболочек обусловлено необратимыми тепловыми потоками в основном через их поверхности, то, как видно из рис. 4, увеличение теплоотдачи приводит к уменьшению затухания колебательного процесса [2]. Следовательно, подбором материала оболочки и ее толщины можно регулировать величину резонансных амплитуд.

ЛИТЕРАТУРА

1. Подстригац Я. С., Швец Р. Н. К теории термоупругого внутреннего трения в твердых телах.— В кн.: Внутреннее трение в металлах и сплавах. М., 1966, с. 216—221.
2. Подстригац Я. С., Швец Р. Н. Квазистатическая задача взаимосвязанной термоупругости.— Прикл. механика, 1969, 5, № 1, с. 44—51.
3. Швец Р. Н., Лунь Е. И. Некоторые вопросы теории термоупругости ортотропных оболочек с учетом инерции вращения и поперечного сдвига.— Прикл. механика, 1971, 7, № 10, с. 121—125.
4. Швец Р. Н., Флячок В. М. Термоупругие колебания ортотропных цилиндрических оболочек.— Прикл. механика, 1973, 11, № 11, с. 15—22.
5. McQuillen E. J., Brull M. A. Dynamic thermoelastic Response of Cylindrical shells.— Trans. ASME. Ser. E, 1970, 37, N 3, p. 661—670.

Львовский филиал математической
физики Института математики
АН УССР

Поступила в редколлегию
10.IX 1975 г.

УДК 539.373 : 621.643.411

Б. Л. Пелех, В. К. Ганулич

ВАРИАЦИОННЫЙ ПРИНЦИП ОБЩЕЙ ТЕОРИИ СЛОИСТЫХ АНИЗОТРОПНЫХ ОБОЛОЧЕК С ЗАДАНЫМ ТЕНЗОРОМ НЕСОВМЕСТНЫХ ДЕФОРМАЦИЙ

Пусть в анизотропном теле, которое занимает объем V , ограниченный поверхностью $S = S_1 + S_2$, заданы помимо объемных сил \bar{X} компоненты e_{ij} тензора несовместных деформаций [2, 3, 6] как функции координат x_i . Рассмотрим функционал

$$J = \int_V \left\{ \mathcal{E} - \sigma_{ij} \left[(e_{ij} - e_{ij}^0) - \frac{1}{2} (\nabla_i U_j + \nabla_j U_i) \right] - X_i U_i \right\} dV - \\ - \int_{S_1} \bar{P}_i U_i dS - \int_{S_2} (U_i - \bar{U}_i) \sigma_{ij} n_i dS, \quad (1)$$

где

$$\mathcal{E} = \frac{1}{2} C_{ijkl} (e_{ij} - e_{ij}^0) (e_{kl} - e_{kl}^0) \quad (2)$$

— упругий потенциал анизотропного тела; e_{ij} — компоненты тензора совместных деформаций; C_{ijkl} — тензор упругих характеристик; σ_{ij} — компоненты тензора напряжений; $\nabla_i = \partial/\partial x_i$; U_i — компоненты вектора смещения; \bar{U}_i — граничные их значения на части поверхности S_2 ; P_i — известные на S_1 компоненты поверхностных усилий; n — внешняя нормаль к поверхности S .

Относительно функционала (1) справедлива такая теорема [1].

Теорема. Вариационное уравнение $\delta J = 0$ содержит в качестве уравнений Эйлера полную систему уравнений теории упругости для тел с несовместными деформациями, а в качестве естественных (эйлеровых) граничных условий — смешанные краевые условия на S_1 и S_2 .